

طراحی بهینه سازه میز پرتاب موشک ماهواره بر کشتی - پرتاب به روش الگوریتم بهینه سازی شبیه سازی تبرید تدریجی

اصغر مهدیان^۱، مسعود بصیری^۲، بیژن عبدالی^۲

۱ استادیار، مجتمع دانشگاهی مکانیک، دانشگاه صنعتی مالک اشتر، اصفهان، a.mahdian@mut-es.ac.ir

۲ دانشجوی دکتری، مجتمع دانشگاهی مکانیک، دانشگاه صنعتی مالک اشتر، اصفهان

تاریخ دریافت: ۱۳۹۵/۱۲/۰۸

تاریخ پذیرش: ۱۳۹۶/۱۲/۰۵

چکیده

هدف این مقاله طراحی، تحلیل و بهینه سازی سازه میز پرتاب موشک ماهواره بر پرتاب شونده از روی کشتی (ناو) است. در این مقاله، یک کد المان محدود برای محاسبه تنش و تغییر شکل میز پرتاب در نرم افزار متلب نوشته شده است. همچنین چون سازه میز پرتاب مورد نظر عملیات شلیک موشک را از روی کشتی انجام می دهد، شتاب های (نیروها) واردہ از طرف کشتی محاسبه شده است. همچنین بارهای واردہ از طرف باد نیز محاسبه شده است. برای بهینه سازی طراحی انجام شده از روش الگوریتم شبیه سازی تبرید تدریجی استفاده شده است. کد این الگوریتم نیز در نرم افزار متلب تدوین شده است. این کد برای محاسبه تنش و تغییر شکل در سازه از کد المان محدود نوشته شده بهره می گیرد و آن را فراخوانی می کند. تابع هستند که به ترتیب برابر با $153/3$ مگا پاسکال و ۳ میلی متر می باشند. متغیرهای طراحی ضخامت و قطر خارجی سطح مقطع اعضای سازه، که از نوع دایره ای توخالی (وله) می باشند، فرض شده است. با محاسبه بارهای واردہ به سازه و مدل سازی مناسب نتایج حاصل از کد المان محدود، که تنش ها و تغییر شکل های ایجاد شده در سازه می باشند به دست آمده و با استفاده از روش تبرید تدریجی سطح مقطع بهینه برای اعضای مختلف سازه تعیین شده است.

واژگان کلیدی

طراحی سازه، بهینه سازی، میز پرتاب، کشتی، المان محدود

۱. مقدمه

موسک در زمان آماده سازی و پرتاب طراحی می شوند [۱]. در حوزه دانش هوافضا، پرتابگر یا لانچر^۱ به وسیله ای گفته می شود اساساً میزهای پرتاب با هدف استقرار و نگهداری انواع موشک در وضعیت پرتاب، عمودی سازی و چرخاندن موشک و سرویس

براؤن و همکاران (۲۰۱۰) در مرکز فضایی کنندی، در مقالهٔ خود یک سازه سبک و جدید را برای پرتاب ماهواره‌بر ارس ۲۱ طراحی کردند. لانچر متحرک جدید دارای وزنی کمتر از وزن لانچر شاتل فضایی بود. در این پروژه، چالش اصلی ساخت لانچر متحرکی با برجی به طول ۱۲۰ متر و سطح ۱۲ متر مربع بود تا بتواند ماهواره‌بر ارس ۱ را نگه دارد. همچنین محدودیت وزن نیز به خاطر حمل کننده آن وجود داشت و حداکثر قادر به تحمل وزن ۵۷۰۰ تن بود. لانچرهای متحرک قبلی عموماً از صفحات تیر آهن^۳، مقاطع نورده شده^۴ و صفحات تخت^۵ بهره می‌بردند. براؤن بهمنظور کاهش وزن، از ترکیبی از صفحات تیر آهن، خرپا با مقاطع نورده شده، صفحات موج‌دار^۶ و ورق^۷ استفاده نمود. گروه طراحی با نیازهایی چون سفتی^۸، فرکانس‌های طبیعی، بارهای معکوس‌شونده، شرایط تکیه‌گاهی چندگانه نامشخص و طبیعی و ناشی از محیط پرتاب مواجه بود [۲].

بهرامی بیدایی و ثنایی‌پور (۱۳۸۹) به بررسی سیستم عملکرد و قابلیت سکوهاهی پرتاب از دریا و نیز استخراج الزامات سیستمی طراحی این نوع سکوها پرداختند. آنها همچنین به بررسی سیستم دو نوع موشک عملیاتی پرتاب از دریا پرداختند [۳]. در این مقاله برای انجام طراحی بهینه از الگوریتم شبیه‌سازی تبرید تدریجی^۹ استفاده شده است. عملکرد مناسب این الگوریتم در مسائل سازه‌ای به اثبات رسیده است. روش شبیه‌سازی تبرید تدریجی در واقع تعمیم روش مونت کارلو^{۱۰} برای شبیه‌سازی بازیخت فیزیکی جامدات است. این ایده ابتدا توسط متروبیلیس^{۱۱} در سال ۱۹۵۳ می‌یابان شد. این روش برگرفته از رشته فلزکاری است [۴]. الگوریتم شبیه‌سازی تبرید تدریجی به عنوان تکنیکی مناسب برای حل مسائل ترکیبی دشوار بهینه‌سازی اثبات شده است. گزارش‌ها نشان می‌دهد تلاش برای استفاده از الگوریتم شبیه‌سازی تبرید تدریجی در مهندسی سازه، برای نخستین بار در سال ۱۹۸۸ م انجام شد [۵]. لی و همکاران از الگوریتم شبیه‌سازی تبرید تدریجی برای بهینه‌سازی وزن خربهایی با متغیرهای گسسته استفاده کردند [۶]. هنسنی و همکاران با استفاده از الگوریتم‌های ژنتیک، شبیه‌سازی تبرید تدریجی، استراتژی تکامل، بهینه‌سازی گروهی ذرات و بهینه‌سازی کلونی مورچه‌ها، به دنبال بهبود طراحی بهینه قابهای صلب فولادی بودند. آنها در نهایت به این نتیجه رسیدند که با توجه به همگرایی سریع الگوریتم شبیه‌سازی تبرید تدریجی به سمت نقطه مطلوب، این الگوریتم می‌تواند در این مقایسه در

که به حالت دستی یا خودکار، گلولهٔ توب و موشک را شلیک می‌کند. به لانچری که دارای برج باشد لانچر برجی می‌گویند. کاربرد گسترده این نوع سکوهای پرتاب در پرتاب قائم موشکهای بالستیک و ماهواره‌بر است. می‌توان گفت این لانچر گونه‌ای از لانچر متحرک است که موشک را روی خود به موقعیت تعیین شده حمل می‌کند و موشک نصب شده روی برج را به حالت قائم نسبت به سطح قرار می‌دهد. در این نوع لانچر استفاده شده است.

سکوهای پرتاب زمین‌پایه متدائل‌ترین نوع سکوها هستند که با قرار گرفتن روی زمین عمل پرتاب را انجام می‌دهند. البته از این نوع سکوها، نوعی دیگری نیز وجود دارد که داخل زمین قرار می‌گیرند و به آن سیلو گفته می‌شود. لانچر برجی جزء سکوهای پرتاب زمین‌پایه می‌باشد. هم‌اکنون در کشورهای گوناگون، سکوهای پرتاب متحرک با استقبال زیادی روبرو شده است. دلیل توجه ویژه به لانچرهای پرتاب موشکهای دوربرد، آن‌هم از نوع متحرک، آن است که می‌توانند عملیات هدف‌گیری و پرتاب موشک را به سرعت اجرا کنند و پس از آن با سرعت از منطقه دور شوند.

در حالت کلی مزیت اصلی سکوهای پرتاب موشک متحرک نسبت به ثابت در عدم تشخیص موقعیت جدید پرتاب موشک توسط دشمن است. با توجه به نقش اساسی نزدیکی محل پرتاب به خط استوا، که نقش مهمی در پرتاب دقیق و اقتصادی ماهواره‌ها دارد، از همان سال‌های نخستین عصر فضا، انگیزه‌ای شد تا دانشمندان از اواسط قرن نوزدهم تحقیقات خود را روی گزینهٔ پرتاب ماهواره‌ها به فضا با استفاده از سکوهای فراساحلی آغاز کنند. دانشمندان فضایی و موشکی شوروی سابق نخستین کسانی بودند که به پژوهش پی‌رامون پرتاب موشکهای ماهواره‌بر به فضا از طریق سکوها یا کشتی‌های دریایی پرداختند.

سکوهای پرتاب موشکهای عمودپرتاب، برای نخستین بار در سال ۱۹۳۲ م طراحی شدند. در سال ۱۹۳۳ م، اولین پرتاب موفقیت‌آمیز موشک به صورت عمودی از روی یک سکوی عمودپرتاب انجام شد [۱]. در بهار ۱۹۳۳ م، بنا به تصمیم شورای عالی دفاع در مسکو، انتستیتوی علمی - پژوهشی موشکی؛ یعنی نخستین مرکز علمی ساخت موشک در شوروی تأسیس شد. این انتستیتو نیروهای متخصصی را به کار گرفت که در زمینهٔ تجهیزات موشکی فعالیت می‌کردند و این امر طراحی موفق موشکهای جدید، دستگاه‌ها و سیستم‌های پرتاب را به دنبال داشت [۱].

به صورت بار گستردگی به قسمت مثلثی شکل سازه، یعنی المان‌های ۱۲، ۱۳ و ۱۴ اعمال خواهد شد. نیروها و گشتاورهای وارد از طرف کشته و باد نیز به گره‌های ۱۵، ۱۶ و ۱۸ اعمال می‌شوند. محل اعمال شرایط بارگذاری در شکل ۲ نمایش داده شده است.

۲-۳. شرایط تکیه‌گاهی

در شکل ۳ محل اعمال شرایط تکیه‌گاهی نمایش داده شده است.

۴. ورودی‌ها و خروجی‌های مسئله

ورودی‌های مسئله عبارت‌اند از مشخصات موشک، مشخصات کشته انتخاب شده، شکل کلی سازه میز پرتاب، طول اعضاء و جنس سازه و خروجی‌های مسئله شتاب‌های کشته، بارهای وارد از طرف کشته، باد و وزن موشک بر سازه میز پرتاب، تنش ماکزیمم وارد بر سازه و ابعاد بهینه سطح مقطع‌های اعضای سازه میز پرتاب (وزن بهینه) می‌باشدند.

۳. حرکات و شتاب‌های کشته مطابق استاندارد BV

استاندارد BV مربوط به شتاب‌های کشته است [۱۱].

۱-۳. مقدمه

در شکل ۴ انواع حرکات و شتاب‌های کشته نمایش داده شده است. به طوری که در این رابطه h_w پارامتر موج بر حسب متر و a_B پارامتر حرکت و شتاب است.

$$a_B = n \left(0.76F + 1.875 \frac{h_w}{L} \right) \quad (1)$$

$$h_w = 11.44 - \left| \frac{L - 250}{110} \right|^3 \quad \text{for } L < 350 \text{ m} \quad (2)$$

$$h_w = \frac{200}{\sqrt{L}} \quad \text{for } L \geq 350 \text{ m} \quad (3)$$

به طوری که در این روابط n ضریب ناویگی است که برابر ۱ فرض می‌شود. عدد فرود F نیز با استفاده از رابطه ۴ محاسبه می‌شود. به طوری که در این رابطه V حداقل سرعت پیشروی بر حسب گرده دریابی و L طول کشته است.

$$F = 0.164 \frac{V}{\sqrt{L}} \quad (4)$$

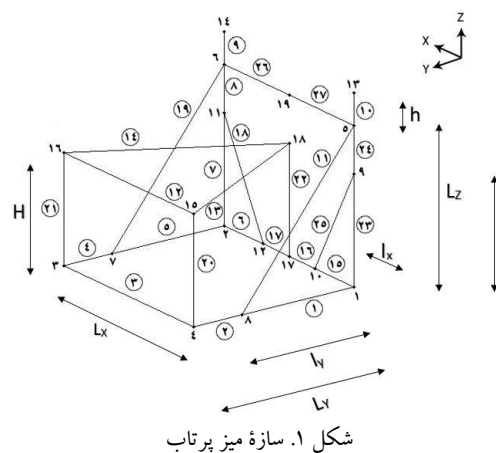
۲-۳. حرکات و شتاب‌های مطلق کشته

حرکت سرج^{۱۲}: شتاب حرکت سرج a_{su} برابر با مقدار ثابت $5/0$ متر بر مجدور ثانیه در نظر گرفته می‌شود.

رتبه دوم قرار گیرد [۷]. گندمی و همکاران در مقاله خود مدلی تجربی برای پیش‌بینی مقاومت برشی تیرهای تقویت‌شده با بتون آرمه نمودند. به منظور توسعه روابط ریاضی بین داده‌های تجربی از یک الگوریتم جستجوی ترکیبی ژنتیک و شبیه‌سازی تبرید تدریجی با تدریجی استفاده شد [۸]. روش شبیه‌سازی تبرید تدریجی با موفقیت در بسیاری از مسائل بهینه‌سازی سازه‌ای استفاده شده است و برای مسائلی با متغیرهای پیوسته و نیز برای مسائلی با متغیرهای گسسته به کار می‌رود [۹]. از جمله پرکاربردترین روش‌های بهینه‌سازی، استفاده از الگوریتم‌های فرا ابتکاری است. برای یافتن جواب بهینه با استفاده از این الگوریتم‌ها، از روش آزمون و خطا استفاده می‌شود. الگوریتم شبیه‌سازی تبرید تدریجی را می‌توان یکی از بهترین الگوریتم‌های فرا ابتکاری دانست [۱۰]. در این مقاله هدف طراحی، تحلیل و بهینه‌سازی سازه میز پرتاب موشک ماهواره‌بر پرتاب‌شونده از روی کشته می‌باشد.

۲. تشریح فیزیک مسئله

در شکل ۱، نمایی از سازه میز پرتاب نمایش داده شده است.



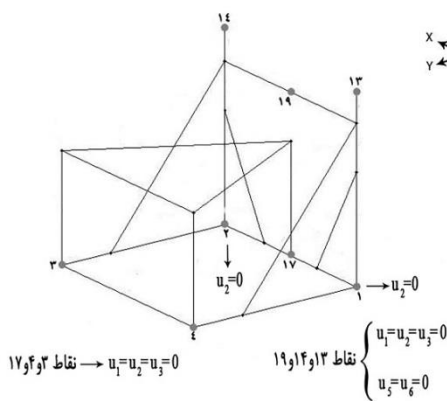
شکل ۱. سازه میز پرتاب

۲-۱. ابعاد سازه

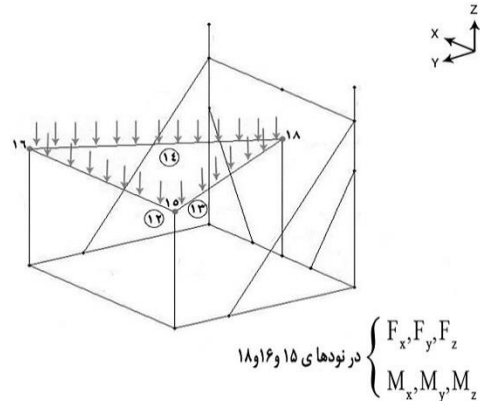
پارامترهای ابعاد سازه میز پرتاب، که در شکل ۱ نمایش داده شده است، به صورت جدول ۱ می‌باشد.

۲-۲. شرایط بارگذاری

بارهای وارد بر سازه میز پرتاب شامل نیروی وزن موشک، بارهای (شتاب‌های) وارد از طرف کشته و بارهای وارد از طرف باد می‌باشد. چون روی قسمت مثلثی شکل سازه یاتاقان کف‌گرد قرار می‌گیرد، می‌توان نتیجه گرفت که نیروی ناشی از وزن موشک



شکل ۳. محل اعمال شرایط تکیه‌گاهی میز پرتاپ



شکل ۲. محل اعمال شرایط بارگذاری میز پرتاپ

جدول ۲. شرایط تکیه‌گاهی میز پرتاپ

نوع تکیه‌گاه	گره محل اعمال	درجات آزادی ثابت شده
لوالی	۱۳، ۱۴	جابه‌جایی در راستای x و z و دوران در راستای y و z
لوالی	۱۹	جابه‌جایی در راستای x و z و دوران در راستای y و z
تماسی	۱، ۲	جابه‌جایی در راستای y
مفصل کشکولی (کاسه-ساجمه)	۱۷، ۴، ۳	جابه‌جایی در راستای x، y و z

$$E = 1.39 \frac{GM}{\delta^2} B \quad (6)$$

۵. حرکت پیچ^{۱۶}: دامنه، پریود و شتاب حرکت پیچ از جدول ۵ به دست می‌آید. در این جدول، مقدار ضریب بلوکی کشتی می‌باشد.

۶. حرکت یاو^{۱۷}: شتاب حرکت یاو بر حسب رادیان بر محدوده ثانیه از رابطه ۷ به دست می‌آید. در این رابطه g شتاب جاذبه است.

$$\alpha_y = 1.581 \frac{a_B \cdot g}{L} \quad (7)$$

۳-۳. محاسبه ضریب بلوکی

ضریب بلوکی تأثیر زیادی بر مقاومت حرکت شناور دارد. اگر محدوده فرود $F_n > 0.3$ باشد، در رابطه ۸ از $F_n = 0.3$ و در غیر این صورت از رابطه ۹ استفاده می‌شود. در رابطه ۹، V حداقل سرعت پیشروی کشتی و L طول کشتی است.

جدول ۱. ابعاد سازه میز پرتاپ

مقدار (متر)	پارامتر
۱/۰۴۵	L_x
۱/۳۹	L_y
۱/۲	L_z
.۰/۴۶۳۵	l_x
.۰/۹۳۷	l_y
.۰/۸۴	l_z
.۰/۸۴	H
.۰/۲۴	h

۲. حرکت اسوی^{۱۸}: پریود و شتاب حرکت اسوی از جدول

۳ به دست می‌آید.

۳. حرکت هیو^{۱۹}: شتاب حرکت هیو بر حسب متر بر محدوده ثانیه از رابطه ۵ به دست می‌آید.

$$a_H = a_B \cdot g \quad (8)$$

۴. حرکت رول^{۲۰}: دامنه، پریود و شتاب حرکت رول از جدول ۴ به دست می‌آید. در جدول مذکور، GM ارتفاع متناسنtri بر حسب متر است. اگر مقدار آن معلوم نباشد، برای کشتی‌های فلیبر، برابر با $۰/۱۲$ عرض کشتی در نظر گرفته می‌شود. همچنین ۵ شاعع ژیراسیون حرکت رول بر حسب متر است و برابر با $۰/۳۵$ عرض کشتی در نظر گرفته می‌شود. در این رابطه B عرض کشتی بر حسب متر است. مقدار E باید کمتر از ۱ باشد؛ اگر E کمتر از ۱ به دست آمد، در محاسبات برابر با ۱ در نظر گرفته می‌شود.

مؤلفه‌های سرعت زاویه‌ای مربوط به حرکات کشتی برابر است

با:

$$\omega_z = 0$$

$$\omega_y = \frac{2\pi}{T_P}$$

$$\omega_x = \frac{2\pi}{T_R}$$

مؤلفه‌های شتاب زاویه‌ای مربوط به حرکات کشتی نیز برابر

است با:

$$\dot{\omega}_x = \alpha_R$$

$$\dot{\omega}_y = \alpha_P$$

$$\dot{\omega}_z = \alpha_Y$$

مؤلفه‌های سرعت خطی مربوط به حرکات کشتی برابر است

با:

$$v_x = v_y = v_z = 0$$

دلیل صفر بودن این سرعت‌ها آن است که در محاسبات مقدار

ماکزیمم شتاب‌های متناظر با این سرعت‌ها لحاظ شده است. علت این امر این است که با بررسی روابط اویلر می‌توان ثابت کرد که در این مسئله ماکزیمم نیروها و شتاب‌های روابط اویلر در صورتی حاصل می‌شود که مقدار شتاب‌ها ماکزیمم و بنابراین سرعت‌ها صفر لحاظ شود. مؤلفه‌های شتاب خطی مربوط به حرکات کشتی برابر است با:

$$\dot{v}_x = a_{su}$$

$$\dot{v}_y = a_{sw}$$

$$\dot{v}_z = a_H$$

با جایگذاری پارامترهای فوق در معادلات ۱۱ و ۱۲، که به نام معادلات اویلر معروفاند، نیروها و گشتاورهایی که در اثر شتاب‌های ناشی از کشتی به موشک اعمال می‌شود محاسبه می‌گرددند که در واقع همان نیروها و گشتاورها در معادلات اویلر می‌باشند. معادلات ۱۱ و ۱۲، که به نام معادلات اویلر معروفاند، در مطالعه حرکت جسم صلب بسیار سودمند می‌باشند [۱۲].

$$C_B = \frac{0.14}{F_n} \cdot \frac{L/B + 20}{26} \quad (8)$$

$$F_n = \frac{V}{\sqrt{gL}} \quad (9)$$

۴-۳. محاسبه آبخور کشتی

آبخور عمقی از بدنه است که داخل آب قرار دارد. در رابطه T ، 10 آبخور، W جابه‌جایی برحسب تن، C_B ضریب بلوكی، L طول کشتی، B عرض کشتی و ρ چگالی آب دریاست. اگر یک جسم از روی کشتی برداشته شود، که در اینجا همان موشکی است که قرار است از روی کشتی پرتاب شود، برای محاسبه آبخور جدید باید وزن جسم برداشته شده از مقدار W اولیه کم و W جدید در رابطه 10 جایگزین شود.

$$T = \frac{W}{\rho \cdot C_B \cdot L \cdot B} \quad (10)$$

۴. مشخصات کشتی فلهبر انتخاب شده

مشخصات کشتی فلهبر انتخاب شده در جدول ۶ ذکر شده است.

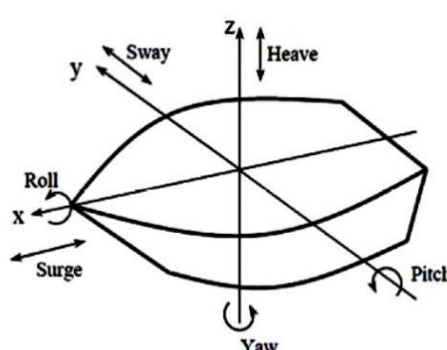
۵. محاسبه بارهای واردہ از طرف کشتی و باد بر موشک و اثر آنها بر سازه میز پرتاپ

۵-۱. محاسبه بارهای واردہ از طرف کشتی بر موشک در محاسبات این مقاله از مقادیر پارامترهای موشک اسکاد بی^{۱۸} استفاده شده است. طول این موشک $11/25$ متر و قطر آن 88 سانتی‌متر است. مقادیر حاصل ضرب اینرسی I_{xx} ، I_{yy} و I_{zz} و جرم موشک اسکاد بی برابر است با:

$$I_{xx} = 453 \text{ kg.m}^2$$

$$I_{zz} = I_{yy} = 49123 \text{ kg.m}^2$$

$$m = 5900 \text{ kg}$$



شکل ۴. انواع حرکات و شتاب‌های کشتی [۱۱]

جدول ۳. پریود و شتاب حرکت اسوی

پریود حرکت اسوی $T_{sw}(s)$	شتاب حرکت اسوی $a_{sw}(m/s^2)$
$\frac{0.8\sqrt{L}}{1.22F + 1}$	$0.775 a_B g$

جدول ۴. دامنه، پریود و شتاب حرکت رول

دامنه حرکت رول $A_R(rad)$	پریود حرکت رول $T_R(s)$	شتاب حرکت رول $\alpha_R(rad/s^2)$
$a_B \sqrt{E}$	$2.2 \frac{\delta}{\sqrt{GM}}$	$A_R \left(\frac{2\pi}{T_R} \right)^2$

جدول ۵. دامنه، پریود و شتاب حرکت پیچ

دامنه حرکت پیچ $A_p(rad)$	پریود حرکت پیچ $T_p(s)$	شتاب حرکت پیچ $\alpha_p(rad/s^2)$
$0.328a_B \left(1.32 - \frac{h_w}{L} \right) \left(\frac{0.6}{C_B} \right)^{0.75}$	$0.575\sqrt{L}$	$A_p \left(\frac{2\pi}{T_p} \right)^2$

جدول ۶. مشخصات کشتی فله بر انتخاب شده

طول کشتی $L(m)$	حداکثر سرعت پیشروی $V(kt)$	عرض کشتی $B(m)$	آبخور کشتی $T(m)$
۷۷/۲	۱۰	۱۴	۴/۹

گردید، که در واقع همان نیروها و گشتاورها در معادلات اوبلر می‌باشند. همچنین نیروی باد نیز به موشک اعمال می‌شود که در محاسبات براساس مطالب مرجع [۱] به صورت بار متتمرکز به مرکز فشار موشک اعمال می‌شود. حال برای محاسبه اثر بارهای واردہ از طرف کشتی و نیز باد به میز پرتاپ (بارهای واردہ از طرف موشک به میز پرتاپ) چون محل‌های اتصال موشک به میز پرتاپ گیردار است، هجده مجھول تکیه‌گاهی وجود خواهد داشت که برای محاسبه آنها از کد المان محدود نوشتۀ شده استفاده شده است. شکل ۶ میز پرتاپ همراه با موشک را نشان می‌دهد. پس از محاسبه این هجده مجھول، به منظور انجام تحلیل المان محدود و بهینه‌سازی سازه میز پرتاپ این بارها در محل اعمال آن؛ یعنی در رئوس قسمت مثلثی‌شکل سازه، که زیر آن سه ستون قرار دارد، (گره‌های ۱۵ و ۱۶ و ۱۸ در شکل ۲) اعمال شده است و موشک از روی میز پرتاپ برداشته شده و در عوض نیروها و ممان‌های مربوطه، روی سازه میز پرتاپ اعمال شده است.

۶. انتخاب جنس سازه

چون طبق بررسی‌های انجام شده، ضریب اطمینان میز پرتاپ موشک اسکاد بی برابر ۳ می‌باشد، در این مقاله نیز ضریب اطمینان برابر با ۳ در نظر گرفته شده است. سازه‌های میز پرتاپ

$$\sum F_x = m(v_x + v_z \omega_y - v_y \omega_z) \quad (11)$$

$$\sum F_y = m(v_y + v_x \omega_z - v_z \omega_x) \quad (11)$$

$$\sum F_z = m(v_z + v_y \omega_x - v_x \omega_y) \quad (11)$$

$$\sum M_x = I_{xx}\dot{\omega}_x - (I_{yy} - I_{zz})\omega_y\omega_z \quad (12)$$

$$\sum M_y = I_{yy}\dot{\omega}_y - (I_{zz} - I_{xx})\omega_z\omega_x \quad (12)$$

$$\sum M_z = I_{zz}\dot{\omega}_z - (I_{xx} - I_{yy})\omega_x\omega_y \quad (12)$$

۵-۲. بارهای ناشی از باد

نیروی باد نیز به موشک اعمال می‌شود که در محاسبات به صورت بار متتمرکز به مرکز فشار موشک اعمال می‌گردد (شکل ۵). بار محاسبه‌ای باد (P) به صورت ۱۳ تعیین می‌شود [۱]؛ به طوری که در این روابط q_{pi} فشار محاسبه‌ای باد بر حسب Kgf/m^2 و سطح مورد نظر، F_i سطح رو به باد محاسبه‌ای بر حسب m^2 و L طول موشک و d قطر موشک می‌باشد.

$$P = q_{pi} F_i \quad (13)$$

$$q_{pi} = 100 \text{ (kgf/m}^2\text{)}$$

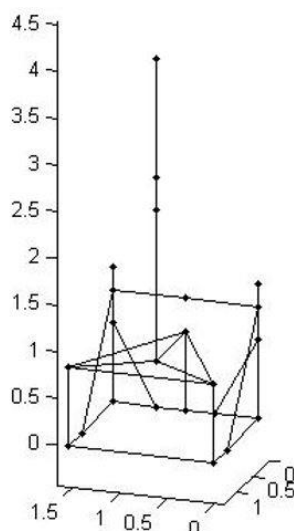
$$F_i = \pi d L$$

۵-۳. اثر بارهای واردہ از کشتی و باد بر سازه میز پرتاپ

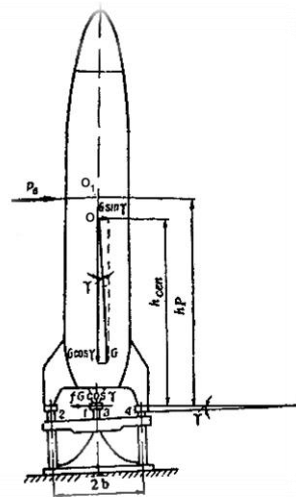
موشک تا دقایقی قبل از آماده‌سازی برای پرتاپ به میز متصل است و هنگام پرتاپ قادر اتصال خواهد شد، اما قبل از آن به میز پیچ شده است. در قسمت قبل نیروها و گشتاورهایی که در اثر شتاب‌های ناشی از کشتی به موشک اعمال می‌شود محاسبه

استفاده می‌شود. در ادامه با لحاظ ضریب اطمینان ۳ و جنس انتخاب شده ابعاد بهینه سطح مقطع های سازه تعیین می‌شود.

معمولًاً از جنس فولاد است. در این مقاله از فولاد ۴۱۳۰ استفاده شده است. این فولاد معمولًاً در برخی از سازه‌های میز پرتاپ



شکل ۶. میز پرتاپ همراه با موشک



شکل ۵. اعمال نیروی باد به مرکز فشار موشک (نقطه O₁) [۱]

جدول ۷. نیروها و ممان‌های واردۀ از طرف موشک بر سازه میز پرتاپ (در اثر بارهای واردۀ از طرف کشتی و باد)

شماره گره	۱۵	۱۶	۱۸
(kN) F_x	۰/۵۸	-۷/۴	-۲۶/۶
(kN.m) F_y	۳۰/۹	-۳۶/۳	-۹/۱
(kN) F_z	-۱۰۸/۸	۱۸۴/۶	-۵۷
(kN.m) M_x	۳۰/۹	-۳۲/۱	-۱۷
(kN.m) M_y	۱۸/۸	۴۶/۲	-۱۹/۵
(kN.m) M_z	۷/۹	۸/۲	۸/۳

جدول ۸ مشخصات فولاد [۱۳] ۴۱۳۰

استحکام تسلیم کششی (MPa)	مدول برشی (GPa)	مدول الاستیسیته (GPa)	چگالی (kg/m ³)
۴۶۰	۸۰	۲۰۵	۷۸۵۰

با ترکیب مکانیک آماری با اصول بهینه‌سازی ایجاد شد [۴]. الگوریتم شبیه‌سازی تبرید تدریجی بر پایه شبهاهت پیداشدن جواب بهینه با تشكیل کریستال منظم و پایدار در آبکاری فلزات بنا شده است. نکته مهم آن است که حالت پایدار نهایی از حالت اولیه سیستم مستقل است. اگر هر نقطه از فضای جستجو با یک آرایش ائمها و تابع جریمه با انرژی پتانسیل سیستم و قابلیت حرکت در جهت بد شدن جواب با انرژی جنبشی سیستم متناظر شوند، در این صورت مسئله می‌شود بردن سیستم از حالت اولیه با انرژی

برای سازه میز پرتاپ، المان قاب فضایی انتخاب شده است. المان قاب فضایی میله‌ای مستقیم با سطح مقطع یکنواخت، قادر به مقاومت در برابر سه نیرو و سه ممان در سه جهت می‌باشد [۱۴].

۷. المان قاب فضایی ^{۱۹}

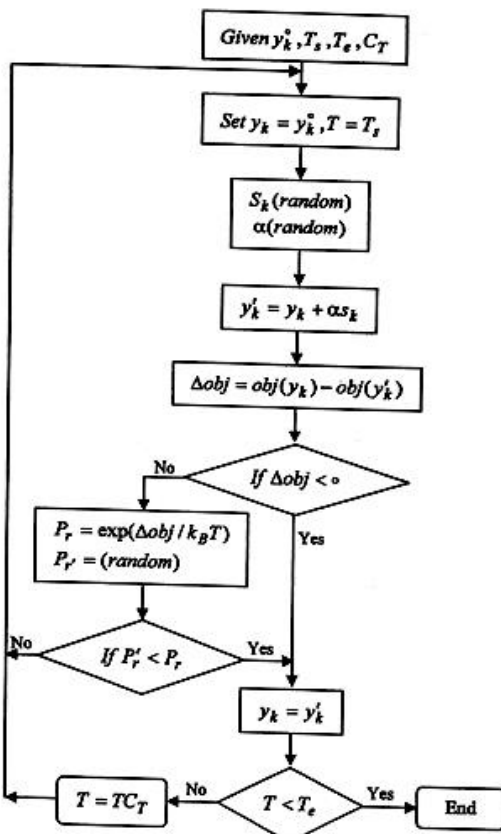
الگوریتم شبیه‌سازی تبرید تدریجی نخستین بار توسط کیرک پاتریک ^{۲۰} و همکارانش در سال ۱۹۸۳ م معرفی شد. این الگوریتم

۸. الگوریتم شبیه‌سازی تبرید تدریجی

الگوریتم شبیه‌سازی تبرید تدریجی نخستین بار توسط کیرک پاتریک ^{۲۰} و همکارانش در سال ۱۹۸۳ م معرفی شد. این الگوریتم

پس از آن احتمال پذیرش آن را از رابطه ۱۴ محاسبه می‌کند. رابطه ۱۴ P تابع احتمال، ΔE میزان کاهش انرژی در هر مرحله است. این خاصیت الگوریتم شبیه‌سازی تبرید تدریجی است که آن را در گروه الگوریتم‌های بهینه‌سازی قدرتمند قرار داده است و از محصور شدن در کمینه‌های محلی جلوگیری می‌کند. نکته دیگری که در مورد این الگوریتم باید بدان توجه داشت این است که این الگوریتم برخلاف بسیاری از روش‌های مرسوم نیازی به محاسبه مشتق تابع ندارد و لذا می‌تواند برای هر نوع تابعی اعم از پیوسته، گسسته و جز این‌ها مورد استفاده قرار گیرد [۱۵].

$$P = \exp\left(-\frac{\Delta E}{K_B T}\right) \quad (14)$$



شکل ۷. فلوچارت روش شبیه‌سازی تبرید تدریجی [۱۹]

۹. بهینه‌سازی سازه میز پرتاب

چون الگوریتم شبیه‌سازی تبرید تدریجی مسائل بهینه‌سازی را در حالت نامقید بررسی می‌کند، لازم است مسئله از حالت مقید به حالت نامقید تبدیل شود. معمولاً برای این کار روش سنتی تابع جریمه خارجی به کار می‌رود. در این مقاله با استفاده از برنامه‌نویسی انجام شده و بدون روش تابع جریمه خارجی، الگوریتم پیشنهادشده به گونه‌ای عمل می‌کند که در طی روند الگوریتم هر

برای نخستین بار توسط کیرک پاتریک با مقدار $C_T = 0.96$ مورد استفاده قرار گرفت [۱۵].

$$T_{k+1} = C_T T_k \quad (15)$$

یافتن یک دمای اولیه مناسب عاملی مهم در کارایی روش شبیه‌سازی تبرید تدریجی است. یک دمای اولیه مناسب دمایی است که به طور میانگین احتمال پذیرش (P_0) را برابر با $/8$ بدهد. به عبارت دیگر شانسی برابر با 80 درصد وجود داشته باشد تا تغییری تصادفی که سبب افزایش تابع هدف شده است، پذیرفته شود. مقدار T_s به طور واضح به مقدار تابع بستگی داشته و لذا وابسته به مسئله می‌باشد. برای به دست آوردن T_s باید یک جستجوی اولیه در فضای تابع صورت گیرد. بدین منظور می‌توان چندین تغییر تصادفی در متغیرها داد و به ازای آن مقدار تابع را محاسبه نمود. سپس براساس میانگین مواردی که مقدار تابع در آن‌ها افزایش یافته است، $\overline{\delta f^+}$ مقدار T_s به راحتی از رابطه زیر محاسبه می‌شود [۱۵].

$$T_s = -\frac{\overline{\delta f^+}}{\ln(P_0)} \quad (16)$$

جدول ۹. متغیرهای الگوریتم بهینه‌سازی

ضریب کاهش C_T	دما اولیه T_s	دما توقف یا T_e دما نهایی	حداکثر تعداد تکرار
۰/۹۶	۵	۰/۰۰۱	۵۰۰

۲-۹. تابع تولید همسایه

یکی از عوامل مهم در موفقیت الگوریتم شبیه‌سازی تبرید تدریجی، تابع تولید همسایه می‌باشد. در مرجع [۱۵] رابطه ۱۷ برای تابع تولید همسایه پیشنهاد شده است.

$$x_{j+1} = x_j + \rho x_j [0.5 - RND(0,1)] \quad (17)$$

در رابطه ۱۷، x_j هر یک از متغیرها در حالت جاری می‌باشد و x_{j+1} متغیری است که یک تغییر تصادفی در آن ایجاد شده است. ρ ضریب تغییر که برابر 0.1 است و $RND(0,1)$ یک مقدار

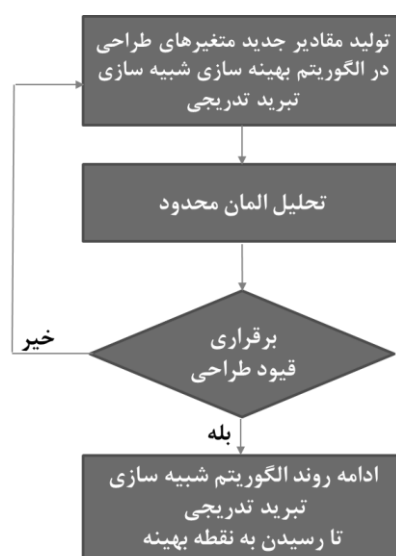
صادفی با توزیع یکنواخت بین صفر و یک می‌باشد.

۱۰. نتایج و بحث

۱۰-۱. نتایج مربوط به کشتی مورد نظر

همان‌گونه که در جدول ۱۰ دیده می‌شود، شتاب‌های اسوی a_{sw} و هیو a_H ایجادشده در مقایسه با شتاب سرچ a_{su} دارای مقادیر

بار که مقدار جدیدی برای متغیرهای طراحی تولید می‌شود، الگوریتم قیود مسئله را مورد بررسی قرار می‌دهد. چنانچه این قیود برقرار باشند، روند الگوریتم تا رسیدن به نقطه بهینه ادامه می‌یابد و در غیر این صورت مجددًا متغیرهای طراحی جدیدی تولید می‌شود. این الگوریتم در شکل ۸ نمایش داده شده است.



شکل ۸. فلوچارت روش بهینه سازی در این مقاله

در این مقاله، تابع هدف وزن سازه میز پرتاپ است. قیود طراحی جایه‌جایی و تنش مجاز می‌باشند که در طی فرایند بهینه‌سازی ثابت‌اند. تنش مجاز برابر با $153/3$ مگاپاسکال فرض شده که برابر با یک سوم استحکام تسلیم کششی جنس انتخاب شده می‌باشد؛ زیرا همان‌گونه که بیان شد ضریب اطمینان برابر با ۳ در نظر گرفته شده است. برای تیرهای فولادی بسته به کاربرد آنها اندازه خیز نسبی باید در محدوده 0.001 تا 0.004 قرار داشته باشد [۱]. بنابراین تغییر شکل مجاز برابر 3 میلی‌متر در نظر گرفته شده است. چون سطح مقطع سازه میز پرتاپ از نوع دایره‌ای توخالی (لوله) است، دو نوع متغیر طراحی یعنی ضخامت و قطر خارجی سطح مقطع اعضای سازه وجود دارد.

۹-۱. پارامترهای الگوریتم شبیه‌سازی تبرید تدریجی

ساده‌ترین و معمول‌ترین رابطه برای کاهش دما برنامه خنک‌کاری نمایی است که به نام خنک‌کاری هندسی نیز معروف است. این رابطه به صورت 15 می‌باشد. در این رابطه، C_T ضریب کاهش دما و دارای مقداری بین صفر و یک است و T دما می‌باشد. این رابطه

نسبت به شتاب در راستای طول هستند. البته مقادیر این شتابها در حدود یک‌چهارم شتاب گرانش می‌باشد.

نسبتاً بزرگی می‌باشند که علت آن این است که مؤلفه‌های شتاب در راستاهای عمود بر محور طولی کشته دارای مقادیر بزرگتری

جدول ۱۰. نتایج مربوط به کشته مورد نظر

۰/۵	شتاب حرکت سرچ $a_{su}(m/s^2)$
۲/۴۷	شتاب حرکت اسوی $a_{sw}(m/s^2)$
۳/۱۸	شتاب حرکت هیو $a_h(m/s^2)$
۰/۲۲	شتاب حرکت رول $\alpha_R(rad/s^2)$
۰/۱۷	شتاب حرکت پیچ $\alpha_p(rad/s^2)$
۰/۰۷	شتاب حرکت یاو $\alpha_y(rad/s^2)$
۵/۷۳	پریود حرکت اسوی $T_{sw}(s)$
۸/۳۲	پریود حرکت رول $T_R(s)$
۰/۳۸	دامنه حرکت رول $A_R(rad)$
۰/۱۱	دامنه حرکت پیچ $A_p(rad)$
۴/۸۹	آخر جدید کشته پس از پرتاپ موشک $T'(m)$

جدول ۱۱. نیروها و گشتاورها در معادلات اویلر

(KN) F_x	۲/۹۵
(KN) F_y	۱۴/۵۴
(KN) F_z	۱۸/۷۷
(KN.m) M_x	۰/۰۹۸
(KN.m) M_y	۸/۳۲
(KN.m) M_z	۴۸/۹۳

۱۱. اعتبارسنجی کدهای کامپیوتري

۱۱-۱. مسئله آزمایشی

خرپای دهمیله‌ای شکل ۱۰ مثال استانداردی است که بسیاری از نویسندهان از آن استفاده نموده‌اند. در اینجا مطالب از مراجع [۱۶-۱۷] آورده شده است. روشی که در این مقاله مورد استفاده قرار گرفته است الگوریتم شبیه‌سازی تبرید تدریجی است. همان‌گونه که در جدول ۱۴ مشاهده می‌شود، به‌دلیل تطابق نتایج به‌دست آمده از روش شبیه‌سازی تبرید تدریجی با نتایج روش‌های دیگر، صحت نتایج بهینه‌سازی در این تحقیق اثبات می‌شود. مطابق شکل ۱۱ الگوریتم پس از حدود ۳۰۰۰ تکرار همگرا شده است و پس از آن تغییر محسوسی در کاهش وزن سازه مشاهده نمی‌شود. این مقدار در واقع وزن بهینه سازه خرپای دهمیله‌ای در این مثال می‌باشد.

۱۰-۲. نیروها و گشتاورها در معادلات اویلر

نیروها و گشتاورها در معادلات اویلر (بارهای وارده از طرف کشته بر موشک) در جدول ۱۱ آورده شده است.

۱۰-۳. نتایج بهینه‌سازی سازه میز پرتاپ

چون سازه میز پرتاپ طراحی شده تقارن دارد و میزان تنش و تغییر شکل ایجادشده در عضوهای متقاضن یکسان است، متغیرهای طراحی گروه‌بندی می‌شوند. در یک گروه مقادیر متغیرهای طراحی با هم برابرن. در نتیجه متغیرهای طراحی در ۱۱ گروه گروه‌بندی می‌شوند. تنش فون میز مازکیم ایجادشده در سازه، مشخصات سطح مقطع اعضای سازه و وزن بهینه سازه در جدول ۱۲ ارائه شده است. مراحل بهینه‌سازی سازه میز پرتاپ نیز در شکل ۹ نمایش داده شده است.

جدول ۱۲. نتایج بهینه‌سازی سازه میز پرتاب

شماره گروه	شماره اعضای گروه	قطر خارجی (سانتی‌متر)	ضخامت جداره (سانتی‌متر)	سطح مقطع (سانتی‌متر مکعب)
۱	۱۰.۵	۴/۴۵	۰/۲۲	۲/۸۸
۲	۲۰.۴	۴/۶۱	۰/۴۱	۵/۴۲
۳	۳	۴/۶۰	۰/۲۹	۳/۹۵
۴	۱۷، ۱۶، ۱۵.۶	۷/۰۷	۰/۳۰	۶/۴۴
۵	۲۳، ۲۴.۷، ۸	۴/۷۳	۰/۲۱	۲/۹۴
۶	۹.۱۰	۴/۰۴	۰/۸۱	۸/۱۹
۷	۱۱.۱۹	۲/۸۳	۰/۲۵	۲/۰۰
۸	۱۴، ۱۲، ۱۳	۲۹/۹۶	۰/۲۰	۱۸/۷۱
۹	۱۸.۲۵	۳/۱۶	۰/۲۳	۲/۱۲
۱۰	۲۲.۲۰.۲۱	۳۱/۶۷	۰/۲۰	۱۹/۸۲
۱۱	۲۶.۲۷	۶/۸۰	۰/۲۳	۴/۷۶
۱۲۰				تنش فون میز ماکریم (مگاپاسکال)
۱۵۱/۶				وزن (کیلوگرم)

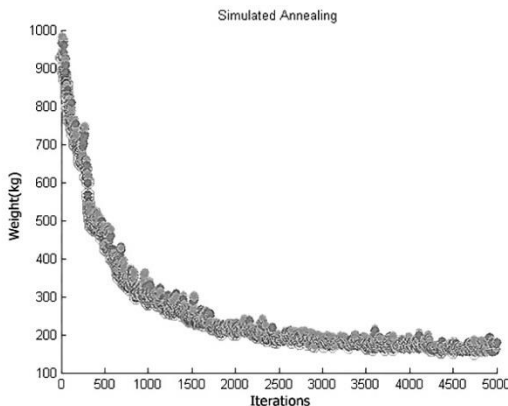
جدول ۱۳. پارامترهای طراحی در مثال خربای دهمیله‌ای

۶/۸۹×۱۰ ^{-۳}	مدول یانگ (مگاپاسکال)
۲۷۷۰	چگالی (کیلوگرم بر متر مکعب)
۱۷۵/۲۵	تنش مجاز (مگاپاسکال)
۵۰/۸	تعییر مکان مجاز (میلی‌متر)
۴۴۴/۸۲۲	نیروی وارد (کیلونیوتن)
۹/۱۴۴	طول (متر)

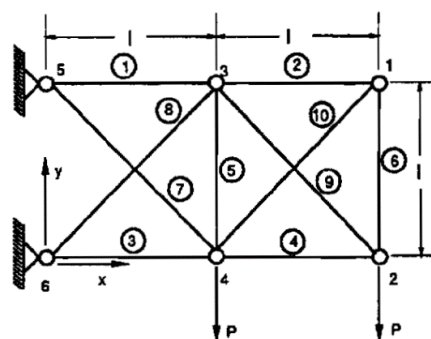
جدول ۱۴. مقایسه نتایج بهینه‌سازی ابعاد سطح مقاطع خربای دهمیله‌ای

نتایج این تحقیق	نتایج قبلی			پارامترها
	۱	۲	۳	
۲۰.۹/۴۸	۲۱۶/۱۳	۲۱۶/۱۳	۲۱۶/۱۳	(cm ²) A ₁
۱۰/۶۵	۱۰/۴۵	۱۰/۴۵	۱۰/۴۵	(cm ²) A ₂
۱۴۵/۸۱	۱۴۷/۷۴	۱۴۱/۹۳	۱۴۷/۷۴	(cm ²) A ₃
۱۰۰	۱۰۰	۱۰۰	۱۰۰	(cm ²) A ₄
۱۰/۶۵	۱۰/۴۵	۱۰/۴۵	۱۰/۴۵	(cm ²) A ₅
۱۷/۳۵	۱۰/۴۵	۱۰/۴۵	۱۰/۴۵	(cm ²) A ₆
۵۶/۵۸	۵۱/۴۲	۹۱/۶۱	۵۱/۴۲	(cm ²) A ₇
۱۴۴/۵۲	۱۴۱/۹۴	۱۲۸/۳۹	۱۴۱/۹۴	(cm ²) A ₈
۱۴۰/۵۸	۱۴۱/۹۴	۱۲۸/۳۹	۱۴۱/۹۴	(cm ²) A ₉
۱۰/۶۵	۱۰/۴۵	۱۶/۹	۱۰/۴۵	(cm ²) A ₁₀
۲۵۱۳/۴۵	۲۴۹۱	۲۵۴۶/۳۹	۲۴۹۱	وزن (kg)

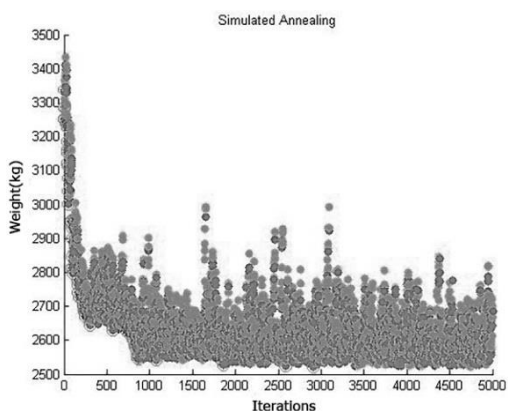
روش ۱ روش تابع حریمه بهبود یافته است. روش ۲ الگوریتم ژنتیک و نهایتاً روش ۳ روش خارج قسمت تقاضل است



شکل ۹. مراحل بھینه سازی سازه میز پرتاپ



شکل ۱۰. خرپای دهمیله‌ای [۱۶]



شکل ۱۱. مراحل همگرایی الگوریتم

شکل سازه برابر با $2/28$ میلی‌متر است. نتایج حاصل از کد المان محدود نوشته شده در مقایسه با سه روش مذکور دارای خطای کمتر از پنج درصد می‌باشد.

$$\begin{aligned} E &= 210 \text{ GPa} \\ A &= 2 \times 10^{-2} \text{ m}^2 \\ G &= 84 \text{ GPa} \\ I_y &= 10 \times 10^{-5} \text{ m}^4 \\ I_z &= 20 \times 10^{-5} \text{ m}^4 \\ J &= 5 \times 10^{-5} \text{ m}^4 \end{aligned}$$

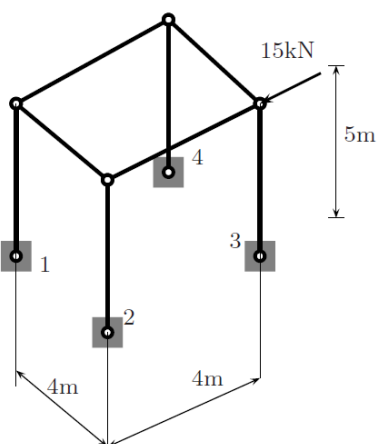
۱۱-۲. اعتبارسنجی کد المان محدود

برای این منظور از سه روش زیر استفاده شده است که عبارت‌اند از تحلیل در نرم افزار اباقوس، روابط مقاومت مصالح و مثل قاب سبدی (شکل ۱۲) با مشخصات زیر؛ بهطوری‌که E مدول الاستیستیت، A مساحت سطح مقطع، G مدول برشی، I_y ممان اینرسی حول محور y ، I_z ممان اینرسی حول محور z و J ممان اینرسی قطبی است. براساس مرجع [۱۸] بیشترین میزان تغییر

به دنبال دارد، بنابراین استفاده از این مقاطع برای سازه‌های میز پرتاب توصیه می‌شود. بهینه‌سازی لزوماً منجر به کاهش سطح مقطع تمامی اعضا نمی‌شود و ممکن است در برخی اعضا منجر به افزایش سطح مقطع شود، اما در مجموع منجر به کاهش وزن سازه می‌گردد. تطبیق نتایج الگوریتم شبیه‌سازی تبرید تدریجی با روش‌های بهینه‌سازی دیگر کارامدی این روش برای طراحی بهینه سازه‌ها را نشان می‌دهد.

۱۲. نتیجه‌گیری

شتات‌های محاسبه شده برای کشتی و بارهای اعمالی بر سازه میز پرتاب از طرف کشتی نشان می‌دهند که مقادیر این بارها قابل صرف‌نظر نیستند و باید در طراحی لحاظ شوند. بهدلیل تأثیرگذاری بارهای وارد از طرف باد بر سازه، این بارها نیز در محاسبات در نظر گرفته شده‌اند. در این مقاله از سطح مقطع‌های دایره‌ای توخالی (ولله) استفاده شده که توانسته قیود طراحی را به خوبی ارضاء نماید. استفاده از این مقاطع کاهش وزن و هزینه را



شکل ۱۲. یک سازه قاب سه بعدی [۱۸]

۱۳. مأخذ

- [1] V. G. Malikof, S. F. Kamisarik, A. M. Kartakf, *Ground Missiles System*, 1st Eddition, pp. 43-70, (Translated by B. Abdi), Aerospace Organization Publication Center, 2006 (in Persian).
- [2] J. C. Brown, A. C. Littlefield, Design of a Light Weight Mobile Launch Structure for the Ares I Launch Vehicle, *2010 Structures Congress © 2010 ASCE*, pp. 2600-2610, 2010.
- [3] M. H. Bahrami Bidani, M. Sanaipoor, Systematic Review of The Operation of Launcher of Missiles From Sea, *Proceedings of The 10th Congress of Aerospace Society of Iran*, Tehran, Iran, June 12-14, 2010 (in Persian).
- [4] H. Shahoseini, M. R. Moosavi, *Evolutionary Algorithms*, 1st Eddition, pp. 23-57, Elmo Sanat of Iran Publication Center, 2012 (in Persian).
- [5] J. P. B. Leite, B. H. V. Topping, Parallel Simulated Annealing For Structural Optimization, *Computers and Structures*, Vol. 73, No. 1-5, pp. 545-564, 1999.
- [6] S. Bureerat, J. Limtragool, Structural topology optimization using simulated annealing with multiresolution, *Finite Elements in Analysis and Design*, Vol. 44, No. 12-13, pp. 738–747, 2008.
- [7] O. Hasancebi, S. Carbas, E. Dog, F. Erdal, M. P. Saka, Comparison of non-deterministic search techniques in the optimum design of real size steel frames, *Computers and Structures*, Vol. 88, No. 17-18, pp. 1033–1048, 2010.
- [8] A. H. Gandomi, A. H. Alavib, D. Mohammadzadeh Shadmehr, M. G. Sahab, An empirical model for shear capacity of RC deep beams using genetic-simulated annealing, *Archives of Civil and Mechanical Engineering*, Vol. 13, No. 3, pp. 354–369, 2013.
- [9] H. Tagawa, M. Ohsaki, A Continuous Topology Transition Model For Shape Optimization of Plane Trusses With Uniform Cross-sectional Area, In: *Proc. 3rd world congress of structural and multidisciplinary optimization*, 1999.

- [10] P. Abasi Dezfooli, Comparison of Simulated Annealing Algorithm with Genetic Algorithm in Determining Optimum Mixing Plan of Self Dense Concrete, *Proceedings of The First National Conference on Development of Civil Engineering, Architecture and Mechanics*, Gorgan, Iran, July 12-14, 2014 (in Persian).
- [11] M. Moonesan, *Handbook of Naval Architecture Engineering*, 1st Eddition, pp. 58-92, Research Center Publication Center, 2012 (in Persian).
- [12] J. L. L. Meriam, G. Kraige, *Engineering Mechanics Dynamics*, 7th Edition, New York: Wiley, 2013.
- [13] J. E. Bringas, *Handbook of Comparative World Steel Standards*, Third Edition, Conshohocken: ASTM International, 2004.
- [14] S. RAO. Singiresu, *The Finite Element Method in Engineering*, 4th Edition, Elsevier Science & Technology Books, 2004.
- [15] M. R Foroozan, M. R Niroomand, *New Methods Optimization*, 1st Eddition, pp. 28-42, Jahad Daneshgahi in Isfahan University of Technology Publication Center, 2009 (in Persian).
- [16] R. T. Haftka, Z. Gurdal, *Elements of Structural Optimization*, 3rd Eddition, pp. 1-20, (Translated by M.H. Abolbashari), Ferdousi University Publication Center, 2003 (in Persian).
- [17] M. Kripka, Discrete Optimization of Trusses By Simulated Annealing, *J. of the Braz. Soc. of Mech. Sci. & Eng*, Vol. 26, No. 2, p.p 170-173, 2004.
- [18] A. J. M. Ferreira, *MATLAB Codes for Finite Element Analysis*, Ontario: Springer, 2008.
- [19] Y. S. Tarng, H. L. Tsai, SS. Yeh, Modeling Optimization and Classification of Weld Quality In Tungsten Inert Gas Welding, *Int. J. Machine Tools & Manufacture*, Vol. 39, No. 9, p.p 1427-1438, 1999.

پی‌نوشت

-
- 1. Launcher
 - 2. Ares 1
 - 3. plate girders
 - 4. rolled sections
 - 5. flat plates
 - 6. corrugated plates
 - 7. sheets
 - 8. stiffness
 - 9. simulated annealing
 - 10. Monte Carlo
 - 11. Metropolis
 - 12. Surge
 - 13. Sway
 - 14. Heave
 - 15. Roll
 - 16. Pitch
 - 17. Yaw
 - 18. Scud B
 - 19. space frame element
 - 20. Kirkpatrick